

Electrodinâmica,

ideia: consideram $\vec{E} = \vec{E}(\vec{r}, t)$ e $\vec{B} = \vec{B}(\vec{r}, t)$

duas etapas:

(1) indução eletromagnética: Lei de Faraday

ideia: $\partial \vec{B} / \partial t \xrightarrow{\text{FONTE}} \vec{E}$

(2) Lei de Ampère-Maxwell: $\partial \vec{E} / \partial t \xrightarrow{\text{FONTE}} \vec{B}$

(1) indução EM

Definição: força electromotriz (emf) em um circuito Γ :

$$\mathcal{E} = \oint_{\Gamma} \vec{E} \cdot d\vec{e} \quad (213.1)$$

notam: pr campo eletrostático $\vec{E} = \vec{E}(\vec{r})$:

$$\vec{\nabla} \times \vec{E} = 0 \rightarrow \mathcal{E} = 0$$

↳ campo \vec{E} em (213.1): origem não eletrostática
ou não pode ser obtida
a partir Lei de Coulomb.

nesse caso, lembram que Lei de Lorentz sempre válida

↳ \vec{E} pode ser determinado a partir \vec{F} sob
carga q :

$$\vec{F} = q(\vec{E} + \vec{v} \times \vec{B})$$

• trabalhos Faraday e Henry ~ 1830,

consideram o seguinte conjunto de experimentos:

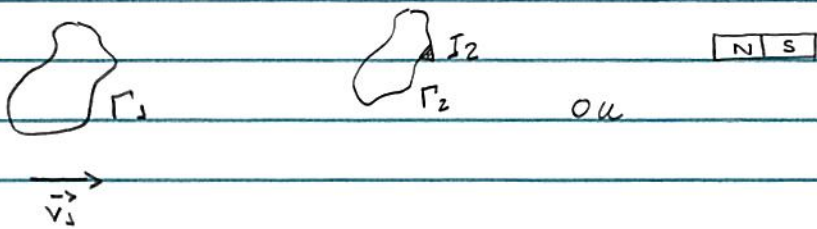
- circuito Γ_1 e circuito Γ_2 \oplus $I_2 = I_2(t)$,



- circuito Γ_1 (nepauso) \oplus magneto permanente $\vec{v} \neq 0$,



- circuito Γ_1 , $\vec{v}_1 \neq 0$ \oplus circuito Γ_2 (nepauso)
ou mag. permanente (nepauso)



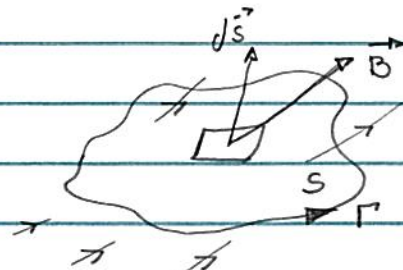
\hookrightarrow em todos os casos, verifica-se experimentalmente que $I_1 \neq 0$!

notar: p/ todos os casos, $\Phi_B(t) \neq 0$ através Γ_1 .

\hookrightarrow Lei de Faraday:

Variacão temporal do fluxo campo \vec{B} através Γ_1 \rightarrow \exists força electromotriz/
corrente induzida em Γ_1

em detalhes: consideram circuito orientado Γ e superfície S cujo contorno é definido por Γ , sob campo magnético \vec{B}



notar: relação entre orientação Γ e sentido $d\vec{s}$ =
= "negra mão direita"

como

$$\Phi_B = \int_S \vec{B} \cdot d\vec{s} : \text{fluxo campo } \vec{B} \text{ através sup. } S \quad (215.1)$$

e se E é a cmf induzida em Γ :

$$E = -\kappa \frac{d\Phi_B}{dt} : \text{Lei de Faraday} \quad (215.2)$$

→ cte, depende sistema de unidades,
entretanto módulo $\kappa \sim$ invariância de Galileu!

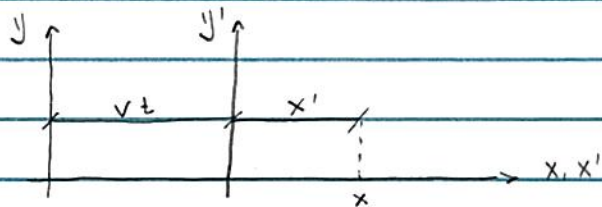
• sobre sinal "-" em (215.2): indica que a corrente induzida em Γ está no sentido oposto à variação do Φ_B

~ Lei de Lenz: o sentido da força eletromotriz induzida E é tal que a corrente induzida gera um campo magnético \vec{B}_{ind} que se opõe à mudança do fluxo magnético.

(215.3)

• vamos verifican que $\kappa = 1$ (SI) ~ invariância Galileu
 (Jackson) $\kappa = \frac{1}{c}$ (Gaussiano) Eq. (215.1)

- Lembrar: transformações de Galileu:
 consideram REF. O', velocidade v w.r.t. REF O



$$\hookrightarrow x' = x - vt$$

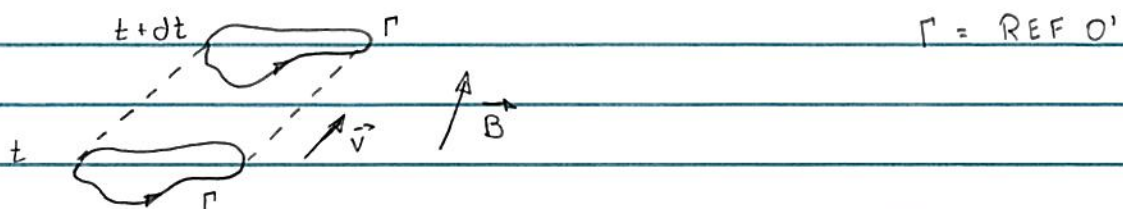
$$y' = y \quad (216.1)$$

$$z' = z$$

$$t' = t$$

caso geral (216.1) : $\vec{r}' = \vec{r} - \vec{v}t$: transf. de (216.2)
 $t' = t$; $\vec{v} = \text{cte}$ Galileu

consideram circuito Γ , velocidade \vec{v} w.r.t. LAB = REF O



duas análises:

(i) Eqs. (213.1), (215.1), (215.2)

$$\oint_{\Gamma} \vec{E}' \cdot d\vec{e} = -\kappa \frac{d}{dt} \int_S \vec{B} \cdot d\vec{s}$$

campo elétrico p/ REF tal que dê em repouso =
 $= \text{REF O}'$

notas: variação temporal ϕ_B pode ocorrer devido

$$- \frac{\partial \vec{B}}{\partial t} \neq 0 \text{ e circuito } \Gamma \text{ fixo}$$

$$- \vec{B} = \vec{B}(\vec{r}) \text{ e velocidade } \Gamma \vec{v} \neq 0$$

como

$$\frac{d\vec{B}(\vec{r}, t)}{dt} = \frac{\partial \vec{B}}{\partial t} + \sum_{i=1}^3 \frac{\partial \vec{B}}{\partial r_i} \frac{\partial r_i}{\partial t} = \frac{\partial \vec{B}}{\partial t} + (\vec{v} \cdot \vec{\nabla}) \vec{B} \\ = \vec{\nabla} \times (\vec{B} \times \vec{v})$$

pois

$$\vec{\nabla} \times (\vec{B} \times \vec{v}) = (\vec{v} \cdot \vec{\nabla}) \vec{B} - \underbrace{(\vec{B} \cdot \vec{\nabla}) \vec{v}}_0 + \underbrace{\vec{B} \cdot (\vec{\nabla} \times \vec{v})}_0 - \underbrace{\vec{v} (\vec{\nabla} \cdot \vec{B})}_0$$

$$\hookrightarrow \oint_{\Gamma} \vec{E}' \cdot d\vec{e} = -\kappa \int_S \frac{\partial \vec{B}}{\partial t} \cdot d\vec{s} + \kappa \underbrace{\int_S \vec{\nabla} \times (\vec{v} \times \vec{B}) \cdot d\vec{s}}_{\oint_{\Gamma} (\vec{v} \times \vec{B}) \cdot d\vec{e}}$$

$$\hookrightarrow \oint_{\Gamma} (\vec{E}' - \kappa (\vec{v} \times \vec{B})) \cdot d\vec{e} = -\kappa \int_S \frac{\partial \vec{B}}{\partial t} \cdot d\vec{s} \quad (257.1)$$

(ii) p/ REF O. = LAB, p/ instante t fixo, podemos escrever

$$\oint_{\Gamma} \vec{E} \cdot d\vec{e} = -\kappa \int_S \frac{\partial \vec{B}}{\partial t} \cdot d\vec{s} \quad (257.2)$$

campo elétrico LAB

notas: instantaneamente circuito Γ em repouso w.r.t. LAB.

invariância de Galileu $\rightarrow LHS (257.1) = RHS (257.2)$

$$\hookrightarrow \vec{E}' = \vec{E} + \kappa (\vec{v} \times \vec{B}) : \text{transf. campo eletrônico} \quad (218.1)$$

consideram carga q , velocidade \vec{v} w.n.l. REF O = LAB

$$\text{p/ REF } O' : \text{carga } q \text{ em repouso} : \vec{F} = q \vec{E}'$$

(218.2)

$$\text{p/ REF } O : \text{ " " " movimento} : \vec{F} = q (\vec{E} + \vec{v} \times \vec{B})$$

Eqs. (218.1) e (218.2) consistentes se $\kappa = 1$!

Obs.: - procedimento acima OK p/ $\frac{v}{c} \ll 1$; útil p/ calcular κ

- Eq. (215.2) é sempre válida!

- Eq. (218.1) : transformação campo \vec{E} p/ $\frac{v}{c} \ll 1$.

• Lei de Faraday, Γ fixo, campos \vec{E} e \vec{B} w.n.l. mesmo REF.

$$\begin{aligned} & \int_{\Gamma} \vec{E} \cdot d\vec{e} = - \frac{d}{dt} \int_S \vec{B} \cdot d\vec{s}, \\ & \text{teorema} \quad ; \quad \text{curva } \Gamma \text{ fixa} \\ & \text{stokes} \quad ; \quad \int_S \vec{v} \times \vec{E} \cdot d\vec{s} = - \int_S \frac{\partial \vec{B}}{\partial t} \cdot d\vec{s} \end{aligned}$$

$$\hookrightarrow \int_S \left(\vec{v} \times \vec{E} + \frac{\partial \vec{B}}{\partial t} \right) \cdot d\vec{s} = 0$$

Como a superfície S definida por Γ é arbitrária

$$\hookrightarrow \vec{\nabla} \times \vec{E} = - \frac{\partial \vec{B}}{\partial t} : \text{Lei de Faraday} \quad (219.1)$$

(forma diferencial)

notar:

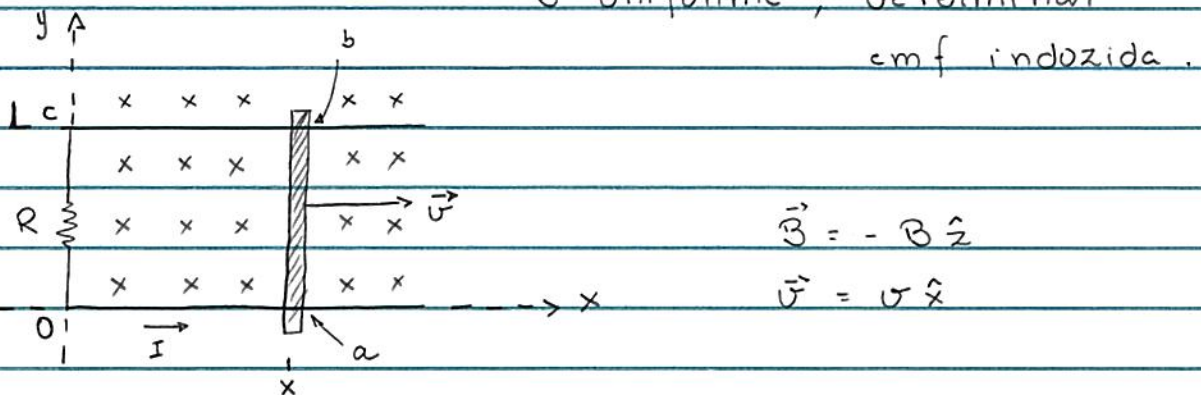
(i) curva Γ considerada acima é arbitrária, não necessariamente corresponde circuito elétrico (fio)

$\hookrightarrow (219.1)$: relação geral entre $\vec{E} = \vec{E}(\vec{n}, t)$ e $\vec{B} = \vec{B}(\vec{n}, t)$; campo magnético que varia temporalmente $\rightarrow \vec{E}$!

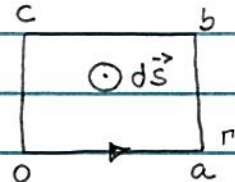
(ii) (219.1): generalização $\vec{\nabla} \times \vec{E} = 0$ p/ $\vec{E} = \vec{E}(\vec{n})$

Obs.: Eq. (219.1), sistema gaussiano: $\vec{\nabla} \times \vec{E} = - \frac{1}{c} \frac{\partial \vec{B}}{\partial t}$.

Ex. 1: Circuito forma "U" ⊕ barra metálica, velocidade $\vec{v} = v \hat{x}$ ⊕ \vec{B} uniforme; determinar



nesse caso $\Gamma =$ retângulo $Oabc$:



$$\hookrightarrow \oint_B = \int_S \vec{B} \cdot d\vec{s} = \int (-B \hat{z}) \cdot (ds \hat{z}) = -BLx$$

$$\text{Eq. (219.2)}: E = - \frac{d\oint_B}{dt} = BLv > 0 \quad (219.2)$$

como $E > 0 \rightarrow$ sentido I induzida
anti-horário = \hat{r} !

ou via Lei de Lenz: \vec{B} fixo \oplus área aumentando \rightarrow
aumento Φ_B (sentido $-\hat{z}$) $\rightarrow \vec{B}_{ind} \propto \hat{z}$
 \hookrightarrow I sentido anti-horário.

$$\hookrightarrow E = IR \rightarrow I = \frac{E}{R} = \frac{BL\omega}{R}$$

$$\hookrightarrow P = EI = \frac{E^2}{R} = \frac{(BL\omega)^2}{R} : \text{potência dissipada resistor.}$$

(220.1)

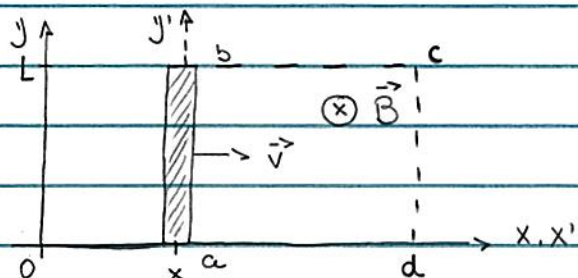
notar: força \vec{F}_B sob barra móvel devido \vec{B}

$$\vec{F}_B = I \int_{ab} d\vec{e} \times \vec{B} = \frac{BL\omega}{R} \int_0^L (dy \hat{j}) \times (-B\hat{z}) = -\frac{B^2 L^2 \omega}{R} \hat{x}$$

$$\text{como } \vec{v} = \text{cte} \rightarrow \vec{F}_{ext} = -\vec{F}_B = \frac{B^2 L^2 \omega}{R} \hat{x}$$

$$\hookrightarrow P_{ext} = \frac{dW_{ext}}{dt} = \vec{F}_{ext} \cdot \vec{v} = \frac{(BL\omega)^2}{R} = \text{Eq. (220.1)} !$$

Ex. 2: consideram barra metálica, comprimento L, velocidade \vec{v}
 \oplus \vec{B} uniforme; determinar V_{ba} .



$$\vec{B} = -B\hat{z}$$

$$\vec{\omega} = \omega\hat{x}$$

REF. O = LAB

REF. O' = BARRA

duas análises:

(i) REF. O = LAB

se \vec{v}_q : velocidade cargas $q > 0$:

$$\vec{F} = q(\vec{E} + \vec{v}_q \times \vec{B})$$

\swarrow campo magnético externo
 \searrow campo elétrico ~ cargas acumuladas
extremidades a e b

p/ situação de equilíbrio: $\vec{v}_q = \vec{0}$ e $\vec{F} = 0$

$$\hookrightarrow \vec{E} = \vec{B} \times \vec{v} = (-B\hat{z}) \times (v\hat{x}) = -Bv\hat{y}$$

como \vec{E} uniforme, podemos escrever:

$$V_{ba} = V_b - V_a = - \int_a^b \vec{E} \cdot d\vec{r} = - \int_0^L (-Bv\hat{y}) \cdot (dy\hat{y}) = BvL \quad (221.1)$$

comparar c/ Eq. (219.2)!

Lembra: OK apenas

$$p/ \vec{E} = \vec{E}(r)$$

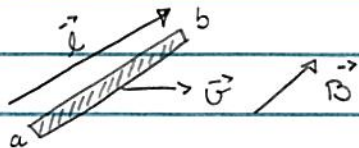
notar: (221.1) pode ser obtida de forma análoga ao Ex. 1

se considerarmos a curva fechada abcd a sendo
a linha tracçada beda fixa \oplus bama ab móvel.

Obs.: Eq. (221.1) é um caso particular de (219.1) que
pode ser obtido via Lei de Lorentz. Nesse caso,
cmf é denominada motional cmf

É possível analisar o caso geral,

considerando barra metálica, comprimento ℓ , velocidade \vec{v} e campo magnético \vec{B}



$$\vec{U}_q = \vec{U} + \vec{U}_d : \text{vel. carga } q > 0$$

\hookrightarrow vel. de
deniva

$$\hookrightarrow \vec{F} = q(\vec{E} + \vec{U}_q \times \vec{B}) = 0 \rightarrow \vec{E} = -\vec{U}_q \times \vec{B}$$

$$\hookrightarrow V_{ba} = V_b - V_a = - \int_a^b \vec{E} \cdot d\vec{e} = \int_a^b (\vec{U}_q \times \vec{B}) \cdot d\vec{e} = \int_a^b (\vec{U} \times \vec{B}) \cdot d\vec{e}$$

$\vec{U}_d \parallel d\vec{e}$

Hipótese: \vec{B} uniforme

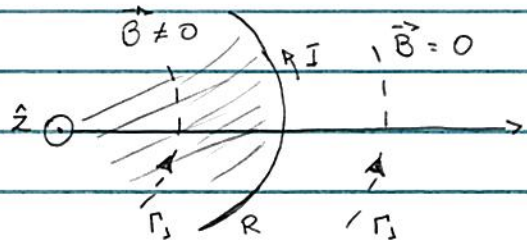
$$\hookrightarrow V_{ba} = (\vec{U} \times \vec{B}) \cdot \int_a^b d\vec{e} = (\vec{U} \times \vec{B}) \cdot \vec{e} = \vec{B} \cdot (\vec{U} \times \vec{e})$$

Obs.: p/ um circuito fixo Γ , podemos escrever:

$$\mathcal{E} = - \frac{d}{dt} \int_S \vec{B} \cdot d\vec{s} = - \frac{d}{dt} \int_S (\vec{J} \times \vec{A}) \cdot d\vec{s} = - \frac{d}{dt} \oint_{\Gamma} \vec{A} \cdot d\vec{e}$$

$$\hookrightarrow \text{sup fronteira} = \Gamma$$

Ex. 3: consideram solenoíde, comprimento $L \rightarrow +\infty$, naiô R ,
 $n = \#$ voltas fio / comprimento $\Rightarrow I = I(t)$;
determinan $\vec{E} = \vec{E}(\vec{r}, t)$.



Hipótese: sentido I : \hat{p}

Vimos p/ corrente estacionária I, pg. 173:

$$\vec{B}(\vec{r}) = \begin{cases} \mu_0 n I \hat{z}, & p < R \\ 0, & p > R \end{cases}$$

Hipótese: $I = I(t)$ "variação lenta": limite quasi estático

Nesse caso, a Lei de Biot-Savart é aproximadamente ok, de modo que, p/ solenoíde:

$$\vec{B}(\vec{r}, t) = \begin{cases} \mu_0 n I(t) \hat{z}, & p < R \\ 0, & p > R \end{cases}, \quad \text{ok p/ limite quasi estático}$$

Como $\vec{B} \propto \hat{z} \rightarrow \vec{E} \propto \hat{p} \rightarrow$ curva Γ = círculo naiô p sup. S - disco naiô p

$$\text{Eq. (215.2)}: \oint_{\Gamma} \vec{E} \cdot d\vec{e} = - \frac{d}{dt} \int_S \vec{B} \cdot d\vec{s}$$

dois casos:

(i) $p < R$

$$\oint_{\Gamma_1} \vec{E} \cdot d\vec{e} = \int_0^{2\pi} (\vec{E} \hat{\phi}) \cdot (p d\phi \hat{\phi}) = - \frac{d}{dt} \int (\mu_0 n I \hat{z}) \cdot (ds \hat{z})$$

↑ notan orientación
 Γ_1 e $d\vec{s}$!

$$\hookrightarrow 2\pi p E = - \frac{d}{dt} (\mu_0 n I \cdot \pi p^2) \rightarrow \vec{E}(p, t) = - \frac{1}{2} \mu_0 n I p \hat{\phi}$$

(ii) $p > R$

$$\oint_{\Gamma_2} \vec{E} \cdot d\vec{e} = 2\pi p E = - \frac{d}{dt} \int_{\substack{\text{Disco} \\ \text{Radio } R}} (\mu_0 n I \hat{z}) \cdot (ds \hat{z}) = - \mu_0 n I (\pi R^2)$$

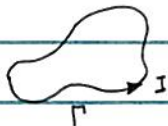
$$\hookrightarrow \vec{E}(p, t) = - \frac{1}{2} \mu_0 n I R^2 \hat{\phi}$$

$$\hookrightarrow \vec{E}(p, t) = \begin{cases} -\frac{1}{2} \mu_0 n I p \hat{\phi}, & p < R \\ -\frac{1}{2} \mu_0 n I \frac{R^2}{p} \hat{\phi}, & p > R \end{cases} \quad \begin{array}{l} : p \text{ limite} \\ \text{quasi est\'atico} \end{array}$$

notan: sentido $\vec{E} \sim \frac{dI}{dt} > 0$ ou $\frac{dI}{dt} < 0$

• Indutância,

consideram circuito Γ connente I



notam $S \rightarrow B \rightarrow \Phi_B$ através do circuito Γ

Lei de Biot-Savart (152.2) $\rightarrow \Phi_B \propto I$

p/ circuito formato fixo: $\Delta\Phi \sim \Delta I$, i.e.,

$$\frac{d\Phi}{dt} = \frac{d\Phi}{dI} \cdot \frac{dI}{dt} \equiv L \frac{dI}{dt} \quad (224.1)$$

\hookrightarrow (auto-)indutância

em particular, se $\Phi \propto I$

$$\hookrightarrow L = \frac{d\Phi}{dI} = \Phi \Big|_I$$

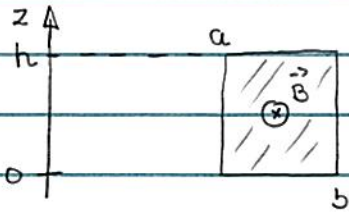
Eq. (224.1) \oplus Lei de Faraday (215.2) :

$$\mathcal{E} = -\frac{d\Phi}{dt} = -L \frac{dI}{dt} : \text{emf induzida} \quad (224.2)$$

unidade (SI) :

$$[L] = \frac{Wb}{A} = \frac{N \cdot m}{A} \cdot \frac{1}{A} = \left(\frac{c \cdot v}{m} \right) \cdot \frac{m}{A^2} = \frac{V \cdot s}{A} = 1 \text{ H (henry)}$$

Ex.: consideran toróide, raio interno a , raio externo b , área seção transversal retangular \oplus connente estacionária I; determinam L.



Vimos que, Eq. (165.1) : $\vec{B}(p) = \frac{\mu_0 N I}{2\pi p} \hat{\phi}$, $a \leq p \leq b$

$\hookrightarrow \Phi_B = N \int_S \vec{B} \cdot d\vec{s}$: fluxo total através toróide
 # voltas \leftarrow \hookrightarrow área seção transversal toróide

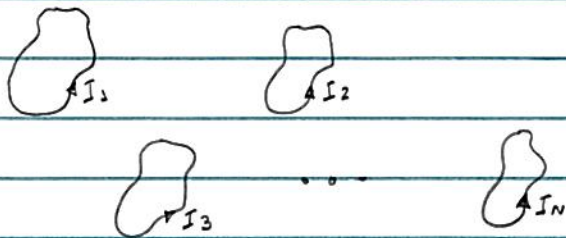
$$\begin{aligned} \hookrightarrow \Phi_B &= N \int_{2\pi p}^{2\pi b} \mu_0 N I \hat{\phi} \cdot (dp dz \hat{\phi}) \cdot \frac{\mu_0 N^2 I}{2\pi} \int_a^b dp \int_0^h dz \\ &= \underbrace{\mu_0 N^2 h}_{2\pi} \int_a^b \left(\frac{b}{a} \right) \cdot I \end{aligned} \quad (225.1)$$

notam: $-L \propto \mu_0 + (\text{geometria})$

$\underbrace{\text{similar capacidade, resistência}}$

$$-[\mu_0] = \frac{T \cdot m}{A} = \frac{H}{m}$$

consideram sistema : N Circuitos Γ_i



$$\hookrightarrow \phi_i = \phi_{ii} + \phi_{i2} + \dots + \phi_{ii} + \dots + \phi_{in} = \sum_{j=1}^n \phi_{ij} : \text{Fluxo total através circuito } \Gamma_i$$

fluxo através
círculo Γ_i devido Γ_j

$$\hookrightarrow \varepsilon_i = -\frac{d\phi_i}{dt} = -\sum_{j=1}^n \frac{d\phi_{ij}}{dt} : \text{emf induzida no círculo } \Gamma_i$$

novamente : considerando formato do círculo fixo $\rightarrow \Delta\phi_i \sim \Delta I_j$

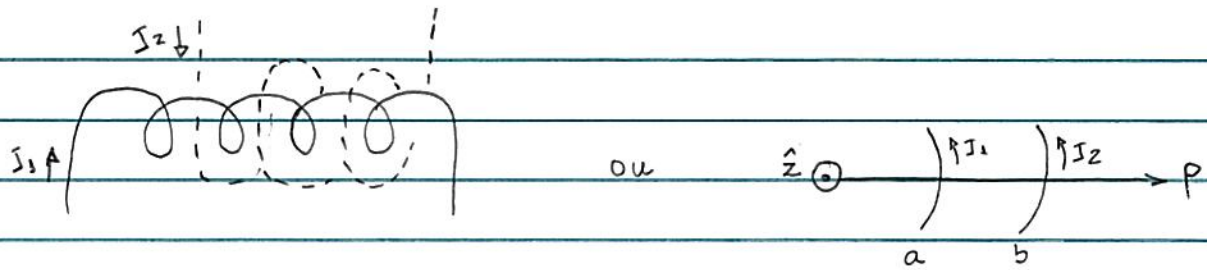
$$\hookrightarrow \frac{d\phi_{ij}}{dt} = \frac{d\phi_{ij}}{dI_j} \frac{dI_j}{dt} = M_{ij} \frac{dI_j}{dt} \quad (226.1)$$

indutância mútua entre
circuitos Γ_i e Γ_j

Verifica-se que (veja abaixo) $M_{ij} = M_{ji}$

notar : $M_{ii} = L_i$!

Ex.: consideram 2 solenóides, naios $a < b$, $L \gg 1$, eixo solenóide 1 = eixo solenóide 2 \oplus correntes estacionárias I_1 e I_2 ; determinar L_i e M_{ij} .



solenóide 1, $n_1 = \frac{N_1}{L}$: # espiras/comprimento, connente si:

" 2, $n_2 = \frac{N_2}{L}$: " " " " I_2

pt solenóide $L \gg r$, vimos que Eq. (173.1) :

$$\vec{B}(r) = \begin{cases} \mu_0 n_1 I_1 \hat{z}, & r < R \\ 0, & r > R \end{cases}$$

$$\hookrightarrow \Phi_{11} = N_1 \int_{S_1} \vec{B}_1 \cdot d\vec{s} = N_1 \int_{S_1} (\mu_0 n_1 I_1 \hat{z}) \cdot (ds \hat{z}) = \mu_0 n_1 N_1 \pi r^2 I_1$$

$$\Phi_{22} = N_2 \int_{S_2} \vec{B}_2 \cdot d\vec{s} = \mu_0 n_2 N_2 \pi b^2 I_2$$

$$\Phi_{12} = N_1 \int_{S_1} \vec{B}_2 \cdot d\vec{s} = N_1 \int_{S_1} (\mu_0 n_2 I_2 \hat{z}) \cdot (ds \hat{z}) = \mu_0 n_2 N_1 \pi r^2 I_2$$

$$\Phi_{21} = N_2 \int_{S_2} \vec{B}_1 \cdot d\vec{s} = N_2 \int_{S_1} \vec{B}_1 \cdot d\vec{s} = \mu_0 n_1 N_2 \pi r^2 I_1$$

$$\hookrightarrow L_1 = \frac{d\Phi_{11}}{dI_1} = \frac{\Phi_{11}}{I_1} = \mu_0 \frac{N_1^2}{L} \pi r^2$$

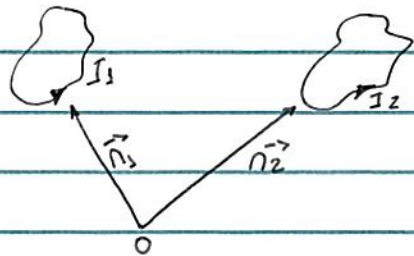
$$L_2 = \frac{d\Phi_{22}}{dI_2} = \frac{\Phi_{22}}{I_2} = \mu_0 \frac{N_2^2}{L} \pi b^2$$

$$M_{21} = \frac{d\phi_{21}}{dI_2} = \frac{\phi_{21}}{I_2} = \frac{\mu_0 N_1 N_2 \pi a^2}{L}$$

$$M_{21} = \frac{d\phi_{21}}{dI_1} = \frac{\phi_{21}}{I_1} = \frac{\mu_0 N_1 N_2 \pi a^2}{L} = M_{12} \quad (228.1)$$

Vamos verificar que (228.1) es válida para el caso.

consideran 2 circuitos $\Gamma_1 \subset \Gamma_2$, formado fijo y connetes estacionarios $I_1 \subset I_2$



$$\hookrightarrow \phi_{21} = \int_{S_2} \vec{B}_1 \cdot d\vec{s} = \int_{S_2} (\vec{j} \times \vec{A}_1) \cdot d\vec{s} = \oint_{\Gamma_2} \vec{A}_1(\vec{n}_2) \cdot d\vec{e}_2$$

Teorema de Stokes

$$\text{como } \vec{A}_1(\vec{n}_2) = \frac{\mu_0 I_1}{4\pi} \oint_{\Gamma_2} \frac{d\vec{e}_2}{|\vec{n}_2 - \vec{r}_2|} : \text{Eq. (370.1)}$$

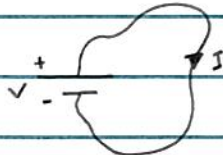
$$\hookrightarrow \phi_{21} = \frac{\mu_0}{4\pi} \int_{\Gamma_1} \int_{\Gamma_2} \frac{d\vec{e}_1 \cdot d\vec{e}_2}{|\vec{n}_1 - \vec{r}_2|} = M_{21} : \text{Fórmula de Neumann} \quad (228.2)$$

notar: $1 \leftrightarrow 2 \rightarrow M_{21} = M_{12}$!

• Energia magnética.

ideia: determinam a energia necessária p/ estabelecer campo magnético \vec{B} .

consideram circuito, resistência R + fonte externa V



$$\hookrightarrow V + \mathcal{E} = RI$$

\searrow emf induzida

\searrow emf fonte externa (e.g., bateria)

trabalho feito p/ V sob $dq = Idt$:

$$dW = Vdq = V(Idt) = (RI - \mathcal{E})(Idt)$$

$$= \underbrace{-\mathcal{E}Idt}_{-(-\frac{d\Phi}{dt})Idt} + RI^2dt = Id\Phi + RI^2dt$$

$$- (-\frac{d\Phi}{dt})Idt$$

\nearrow energia liberada,
efecto Joule
(inversiva!)

Definindo:

$dW_b = Id\Phi$: trabalho realizado pela fonte externa, (229.1)
contrário emf induzida: energia necessária
 p/ estabelecer B !

notas:

$$- dW = RI^2 \text{ somente se } d\Phi = 0$$

caso geral: sistema N circuitos (acoplados) Γ_i ,

$$\text{Eq. (229.1)} \rightarrow dW_b = \sum_{i=1}^N I_i d\phi_i \quad (230.1)$$

hipótese: $d\phi_i \sim \text{somente } dI_j$

$$\hookrightarrow dW_b = \sum_i I_i \left(\sum_j d\phi_{ij} \right) = \sum_{i,j} I_i d\phi_{ij} dI_j = \sum_{ij} M_{ij} I_i dI_j \quad (230.2)$$

pelos circuitos Γ_i formado fixo

e em repouso: $dW_b = dU$: variação energética magnética

hipótese: circuitos Γ_i c/ meio magnético linear

a fim de determinar U , vamos considerar que

$$I_i: 0 \rightarrow I_i$$

\hookrightarrow valor final constante circuito Γ_i

da seguinte forma: $I'_i = \alpha I_i$; $0 \leq \alpha \leq 1$

$$\hookrightarrow dI_i = I_i d\alpha$$

meio linear $\rightarrow d\phi_i = \Phi_i d\alpha$ (meio magnético linear)

$$\hookrightarrow U = \int dW_b = \sum_{i=1}^N \int I'_i d\phi_i = \sum_i I_i \Phi_i \int_0^1 \alpha d\alpha = \frac{1}{2} \sum_i I_i \Phi_i \quad (230.3)$$

ou

$$U = \int \sum_{ij} M_{ij} I_i dI_j = \sum_{ij} M_{ij} I_i I_j \int_0^1 \alpha d\alpha = \frac{1}{2} \sum_{ij} M_{ij} I_i I_j \quad (230.4)$$

Eqs. (230.3) e (230.4): energia magnética, N circuitos c/ meio mag. linear

notam:

$$(i) \text{ p/ 1 circuito: } U = \frac{1}{2} I \Phi = \frac{1}{2} L I^2 \quad (231.1)$$

(ii) p/ 2 circuitos:

$$U = \frac{1}{2} \underbrace{M_{11}}_{L_1} I_1^2 + \underbrace{\left(\frac{1}{2} M_{12} + \frac{1}{2} M_{21} \right)}_M I_1 I_2 + \frac{1}{2} \underbrace{M_{22}}_{L_2} I_2^2$$

$$U = \frac{1}{2} L_1 I_1^2 + \frac{1}{2} L_2 I_2^2 + M I_1 I_2 = \frac{1}{2} I^2 \left(L_1 x^2 + L_2 + 2Mx \right); x = \frac{I_1}{I_2}$$

- Vamos determinar x tal que U máximo ou mínimo

$$\frac{dU}{dx} = \frac{1}{2} I^2 \left(2L_1 x + 2M \right) = 0 \rightarrow x = -M/L_1$$

$$\frac{d^2U}{dx^2} = I^2 L_1 > 0 \rightarrow x = -M/L_1 \sim U_{\min}$$

$$\text{como } U \geq 0 \rightarrow U_{\min} = \frac{1}{2} I^2 \left(L_1 \left(\frac{M}{L_1} \right)^2 + L_2 + 2M \left(-\frac{M}{L_1} \right) \right) \geq 0$$

$\rightarrow L_1 L_2 \geq M^2$: relação entre indutâncias e indutância múltua sistema 2 circuitos.

de modo análogo à energia eletrostática, é possível escrever (230.3) em termos de \vec{B} e \vec{H} ,

temos que

$$\Phi_i = \int_{S_i} \vec{B}_i \cdot d\vec{s} = \int_{S_i} (\vec{v} \times \vec{A}_i) \cdot d\vec{s} = \oint_{\Gamma_i} \vec{A}_i \cdot d\vec{e} \quad (231.2)$$

(230.3) ⊕ (231.2) :

$$U = \frac{1}{2} \sum_i I_i \phi_i = \frac{1}{2} \sum_i \oint_{r_i} \vec{A}_i \cdot (I_i d\vec{e})$$

↳ p/ uma distribuição volumétrica de correntes:

$$Id\vec{e} \rightarrow \vec{J}d^3n \quad e \quad \sum_i \oint_{r_i} \rightarrow \int_V, \text{ podemos escrever:}$$

$$U = \frac{1}{2} \int d^3n \vec{A}(\vec{n}) \cdot \vec{J}(\vec{n}) : \text{energia magnética} \quad (232.1)$$

distribuição de correntes \vec{J}
estacionárias

Obs.: comparar Eqs. (45.2) e (232.1)

· no gauge de Coulomb ($\vec{\nabla} \cdot \vec{A} = 0$), (232.1) pode ser escrita como (veja Eq. (169.1)):

$$U = \frac{\mu_0}{4\pi} \int d^3n d^3n' \frac{\vec{J}(\vec{n}) \cdot \vec{J}(\vec{n}')}{|\vec{n} - \vec{n}'|} \quad (\text{vácuo}) \quad (232.2)$$

· Eq. (232.1) ⊕ Lei de Ampère (199.3):

$$U = \frac{1}{2} \int d^3n \vec{A}(\vec{n}) \cdot \vec{J}_f(\vec{n}) = \frac{1}{2} \int d^3n \vec{A} \cdot (\vec{\nabla} \times \vec{H})$$

como: $\vec{\nabla} \cdot (\vec{A} \times \vec{H}) = \vec{H} \cdot (\vec{\nabla} \times \vec{A}) - \vec{A} \cdot (\vec{\nabla} \times \vec{H})$, veja pg. 36M

$$\hookrightarrow U = \frac{1}{2} \int_V d^3n \vec{H} \cdot (\vec{\nabla} \times \vec{A}) - \frac{1}{2} \underbrace{\int_V d^3n \vec{A} \cdot (\vec{A} \times \vec{H})}$$

$$\oint_S (\vec{A} \times \vec{H}) \cdot d\vec{s}$$

$$\frac{1}{n} \cdot \frac{1}{n^2} \cdot n^2 \sim 1/n : \text{OK p/ distribuição}$$

p/ volume

"suficientemente grande"

$$\xrightarrow[0]{}$$

localizadas

de correntes!

$$\hookrightarrow U = \frac{1}{2} \int_{\text{ALL SPACE}} d^3n \vec{H}(\vec{n}) \cdot \vec{B}(\vec{n}) : \text{energia magnética} \quad (233.1)$$

(meios lineares)

p/ meio magnético linear e isotrópico $\vec{B} = \mu \vec{H}$

$$\hookrightarrow U = \frac{1}{2\mu} \int d^3n B^2(\vec{n}) \quad (233.2)$$

$$\text{notam: } u = \frac{1}{2\mu} B^2(\vec{n}) : \text{densidade energia magnética} \quad (233.3)$$

$$\text{notam p/ vácuo: } U = \frac{1}{2\mu_0} \int d^3n B^2(\vec{n})$$

Obs.: p/ At tal que $I_i : 0 \rightarrow I_i$, temos que $I_i = I_i(t)$

nesse caso consideramos limite quasi estático

Resumo energia magnética p/ campos magnéticos estáticos (vácuo)

$$U = \frac{1}{2} \int d^3n \vec{J}(\vec{n}) \cdot \vec{A}(\vec{n}) = \frac{1}{2\mu_0} \int d^3n B^2(\vec{n}) \quad (234.1)$$

energia armazenada
na distribuição de
correntes

Energia armazenada
no campo magnético

Obs.: comparar Eqs. (46.3) e (234.1)
" " (131.2) e (233.1)

Eqs. (131.2) e (233.1) : energia armazenada, campos estáticos
④ meios lineares :

$$U = \frac{1}{2} \int d^3n (\vec{D}(\vec{n}) \cdot \vec{E}(\vec{n}) + \vec{B}(\vec{n}) \cdot \vec{H}(\vec{n})) \quad (234.2)$$

Ex.: consideram solenoide, nro a, comprimento $L \gg r$ ④ conteúdo estacionário I ; determinar energia magnética armazenada.

(ii) Vimos que (pg. 227) : $L = \frac{\mu_0 N^2 \pi a^2}{l} = \frac{\mu_0 N^2 A}{l}$: indutância solenoide

$$\hookrightarrow \text{Eq. (233.1)} : U = \frac{1}{2} L I^2 = \frac{1}{2} \frac{\mu_0 N^2 A}{l} I^2$$

alternativa : (ii)

$$\text{Eq. (233.2)} : U = \frac{1}{2\mu_0} \int d^3n B^2(\vec{n}) = \frac{1}{2\mu_0} \int_{\text{VOL.}} d^3n (\mu_0 n I)^2 = \frac{1}{2} \frac{\mu_0 N^2}{l} A I^2$$

↑
Eq. (133.1)

(2) Lei de Ampère-Maxwell : corrente de deslocamento

Até o momento, eqs. fundamentais do eletromagnetismo
(vacuo), forma diferencial (s.i.)

$$\vec{\nabla} \cdot \vec{E} = \frac{1}{\epsilon_0} \rho(\vec{r}) \quad : \text{Lei de Gauss} \quad (19.2)$$

$$\vec{\nabla} \cdot \vec{B} = 0 \quad : \text{ausência monopolo magnético} \quad (159.1)$$

$$\vec{\nabla} \times \vec{E} = - \frac{\partial \vec{B}}{\partial t} \quad : \text{Lei de Faraday} \quad (219.1)$$

$$\vec{\nabla} \times \vec{B} = \mu_0 \vec{J} \quad : \text{Lei de Ampère} \quad (161.1)$$

Lembrem : Eqs. (19.2), (159.1) e (161.1) : determinadas p/ campos estáticos

Eq. (219.1) : " " " dependentes $\frac{\partial}{\partial t}$

notam :

assumindo que

\checkmark (159.1) ou p/ $\vec{B} = \vec{B}(\vec{r}, t)$

$$\vec{\nabla} \cdot (\vec{\nabla} \times \vec{E}) = \vec{\nabla} \cdot \left(- \frac{\partial \vec{B}}{\partial t} \right) = - \frac{\partial}{\partial t} (\vec{\nabla} \cdot \vec{B}) = 0$$

ou c/ propriedade (164.11) : $\vec{\nabla} \cdot (\vec{\nabla} \times \vec{A}) = 0$ p/ $\vec{A} = \vec{A}(\vec{r}, t)$.

p/ detalhes veja pg. 235.1

entretanto,

$$\vec{\nabla} \cdot (\vec{\nabla} \times \vec{B}) = \mu_0 (\vec{\nabla} \cdot \vec{J}) = 0 \quad \text{apenas p/ correntes estacionárias} \quad (235.1)$$

↳ é necessário modificar/generalizar (161.1) p/ campos/correntes dependentes do tempo! (*)

notar:

- como $\vec{\nabla} \cdot (\vec{\nabla} \times \vec{A}) = 0$ p/ $\forall \vec{A}$ (*)

em princípio $\rightarrow \partial_t (\vec{\nabla} \cdot \vec{B}) = 0 \rightarrow \vec{\nabla} \cdot \vec{B} = cte$

p/ $t = t_0$, $\vec{B}(r, t_0) = 0 \rightarrow cte = 0 \rightarrow \vec{\nabla} \cdot \vec{B}(r, t) = 0$
 (instante inicial)

- sobre a Lei de Gauss p/ $\vec{E} = \vec{E}(r, t)$,

Lei de Ampère-Maxwell:

$$\vec{\nabla} \cdot (\vec{\nabla} \times \vec{B}) = \mu_0 (\vec{\nabla} \cdot \vec{J} + \epsilon_0 \partial_t \vec{E}) = 0 \text{ pois (*)}$$

④ eq. de continuidade

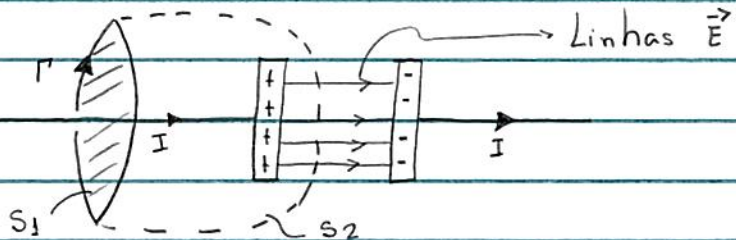
$$\rightarrow \partial_t (p + \epsilon_0 \vec{\nabla} \cdot \vec{E}) = 0 \rightarrow p + \epsilon_0 \vec{\nabla} \cdot \vec{E} = cte$$

novamente, p/ instante inicial $t = t_0$ tal que

$$p(r, t_0) = \vec{E}(r, t_0) = 0 \rightarrow cte = 0$$

O exemplo abaixo ilustra (+)

Ex.: considerar capacitors planas e \perp , processo de carga



S_1 : superfície plana \perp fio;

S_2 : " curva; fronteira sup. S_1 :

" " $S_2 = \text{curva } \Gamma$

Lei de Ampère (162.1):

$$\oint_{\Gamma} \vec{B} \cdot d\vec{e} = \mu_0 \int_{S_1} \vec{J} \cdot d\vec{s} = \mu_0 I$$

por outro lado

: contradição!

$$\oint_{\Gamma} \vec{B} \cdot d\vec{e} = \mu_0 \int_{S_2} \vec{J} \cdot d\vec{s} = 0$$

• Maxwell: conexão Lei de Ampère,

Lembrem: caso geral $\vec{\nabla} \cdot \vec{J} \sim$ eq. de continuidade (143.1)

$$\vec{\nabla} \cdot \vec{J} + \frac{\partial \rho}{\partial t} = 0$$

(+) Lei de Gauss (19.2):

$$\vec{\nabla} \cdot \vec{J} + \frac{\partial}{\partial t} (\epsilon_0 \vec{\nabla} \cdot \vec{E}) = \vec{\nabla} \cdot \left(\vec{J} + \epsilon_0 \frac{\partial \vec{E}}{\partial t} \right) = 0$$

notam hipótese: Eq. (19.2) ou p/ $\vec{E} = \vec{E}(\vec{r}, t)$, veja pg. 235.

$$\hookrightarrow \vec{J} \rightarrow \vec{J} + \epsilon_0 \frac{\partial \vec{E}}{\partial t} \text{ em (161.1)}$$

$$\hookrightarrow \vec{\nabla} \times \vec{B} = \mu_0 \vec{J} + \mu_0 \epsilon_0 \frac{\partial \vec{E}}{\partial t} : \text{Lei de Ampere-Maxwell} \quad (237.1)$$

notas:

$$\cdot \vec{\nabla} \cdot (\vec{\nabla} \times \vec{B}) = \mu_0 \vec{\nabla} \cdot (\vec{J} + \epsilon_0 \frac{\partial \vec{E}}{\partial t}) = 0, \text{ ok}$$

$$\cdot \text{se } \vec{E} = \vec{E}(\vec{r}) : (237.1) \rightarrow (161.1), \text{ ou pr. \underline{componentes estacionárias}}$$

$$\text{Eq. (237.1)} : \text{campo } \vec{E} \text{ dependente } \frac{t}{\vec{B}} \rightarrow \text{campo } \vec{B}$$

notas similaridade c/ Lei de Faraday (219.1):

$$\text{campo } \vec{B} \text{ dependente } \frac{t}{\vec{E}} \rightarrow \text{campo } \vec{E}$$

Obs.: (273.1), sistema Gaussiano:

$$\vec{\nabla} \times \vec{B} = \frac{4\pi}{c} \vec{J} + \frac{1}{c} \frac{\partial \vec{E}}{\partial t}$$

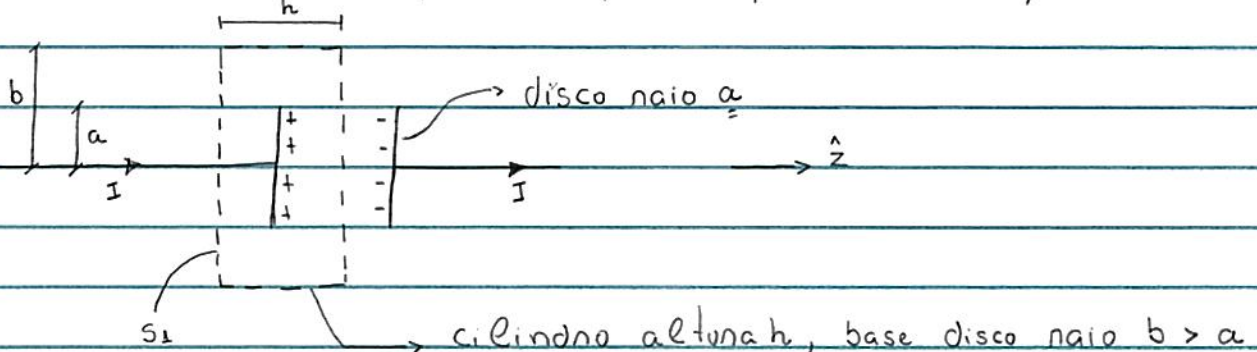
Eq. (237.1), forma integral,

$$\underbrace{\int_S (\vec{\nabla} \times \vec{B}) \cdot d\vec{s}}_I = \mu_0 \underbrace{\int_S \vec{J} \cdot d\vec{s}}_I + \mu_0 \epsilon_0 \int_S \frac{\partial \vec{E}}{\partial t} \cdot d\vec{s}$$

$$\oint_C \vec{B} \cdot d\vec{l}$$

$$\hookrightarrow \oint_C \vec{B} \cdot d\vec{l} = \mu_0 I + \mu_0 \epsilon_0 \int_S \frac{\partial \vec{E}}{\partial t} \cdot d\vec{s} : \text{Lei Ampere-Maxwell} \quad (237.2)$$

Ex.: novamente, capacitor placas planas e \parallel , processo de carga



$$\text{superfície cilíndro } S = S_1 + S_2$$

$$\begin{aligned} \hookrightarrow \text{base cilíndro : fronteira} &= \text{curva } \Gamma \\ &= \text{círculo naio } b \end{aligned}$$

campo elétrico intérieur placas capacitor:

$$\vec{E} = \frac{\sigma}{\epsilon_0} \hat{z} = \frac{Q}{\epsilon_0 A} \hat{z}$$

\rightarrow área placa capacitor

Eq. (237.2) :

$$\oint_{\Gamma} \vec{B} \cdot d\vec{e} = \mu_0 \int_{S_1} \vec{j} \cdot d\vec{s} + \mu_0 \epsilon_0 \int_{S_2} \partial_t \vec{E} \cdot d\vec{s} = \mu_0 I + 0 = \mu_0 I$$

$$= \mu_0 \int_{S_2} \vec{j} \cdot d\vec{s} = \mu_0 \epsilon_0 \underbrace{\int_{S_2} \partial_t \left(\frac{Q}{\epsilon_0 A} \right) \hat{z} \cdot d\hat{s}}_{0} \hat{z} = \mu_0 I !$$

$$\frac{1}{\epsilon_0} \frac{dQ}{dt} = \frac{1}{\epsilon_0} I$$

Definindo :

$$\vec{j}_D = \epsilon_0 \frac{d\vec{E}}{dt}$$

(238.1)

Obs.:

- motivação p/ introduzir \vec{J}_D e teórica, Eq. (235.1):

verificações experimentais e ondas eletromagnéticas
(Hertz, após trabalhos Maxwell)

↳ introduzir \vec{J}_D na Lei de Ampère OK.

- p/ campos E estáticos: $\vec{J}_D = 0$

- p/ condutores: $J_f \gg J_D$

condutividade (bons) condutores: $\sigma \sim 10^8 (\Omega \cdot m)^{-1} \rightarrow J_f \sim 10^8 E$

$$J_D \sim \epsilon_0 \omega E \sim 10^{-12} \omega E \rightarrow \omega \gg 10^{12} \text{ p/ } J_D \sim J_f !$$

• Equações de Maxwell,

Eqs. fundamentais EM, forma diferencial, vácuo (SI):

$$\vec{\nabla} \cdot \vec{E} = \frac{1}{\epsilon_0} \rho(\vec{r}, t) : \text{Lei de Gauss} \quad (239.1)$$

$$\vec{\nabla} \cdot \vec{B} = 0 : \text{ausência monopolo magnético} \quad (239.2)$$

$$\vec{\nabla} \times \vec{E} + \frac{\partial \vec{B}}{\partial t} = 0 : \text{Lei de Faraday} \quad (239.3)$$

$$\vec{\nabla} \times \vec{B} - \mu_0 \epsilon_0 \frac{\partial \vec{E}}{\partial t} = \mu_0 \vec{J}(\vec{r}, t) : \text{Lei de Ampère-Maxwell} \quad (239.4)$$

onde $\vec{E} = \vec{E}(\vec{r}, t)$

$\vec{B} = \vec{B}(\vec{r}, t)$

Eqs. (239.1) - (239.4) : Eqs. de Maxwell

: Eqs. fundamentais EM !

$$\textcircled{+} \quad \vec{F} = q(\vec{E} + \vec{v} \times \vec{B}) : \text{Lei de Lorentz}$$

Obs. :

(i) Eqs. (239.1) e (239.2) derivadas inicialmente p/ campos estáticos.

Entretanto, verifica-se que elas também são válidas p/ campos dependentes tempo.

(ii) Eqs. (239.1) - (239.4) : conjunto eqs. diferenciais. Para se determinar $\vec{E} = \vec{E}(\vec{n}, t)$ e $\vec{B} = \vec{B}(\vec{n}, t)$ é necessário $\textcircled{+}$ condições contorno (veja abaixo)

(iii) Lembran: $p = p(\vec{n}, t)$ e $\vec{J} = \vec{J}(\vec{n}, t)$: densidades de carga e corrente totais

(iv) Eqs. (239.1) - (239.4) : em alguns casos denominadas eqs. microscópicas de Maxwell (veja abaixo)

• Equações de Maxwell na matéria,

Vimos que, na presença de meios dieletéticos e/ou magnéticos, é interessante escrever as leis de Gauss e Ampère em termos dos campos auxiliares \vec{D} e \vec{H} , i.e.,

$$\vec{\nabla} \cdot \vec{D} = p_f \quad (115.2)$$

$$\vec{\nabla} \times \vec{H} = \vec{J}_f \quad (199.3)$$

vamos adicionar a corrente de deslocamento à Eq. (199.3) de modo análogo ao procedimento pg. 236.

como : $\vec{\nabla} \cdot \vec{J}_f + \partial_t p_f = 0$

$$\hookrightarrow \vec{\nabla} \cdot \vec{J}_f + \partial_t p_f = \vec{\nabla} \cdot \vec{J}_f + \partial_t (\vec{\nabla} \cdot \vec{D}) = \vec{\nabla} \cdot (\vec{J}_f + \partial_t \vec{D}) = 0$$

↑
Eq. (115.2)

$$\hookrightarrow \vec{J}_f \rightarrow \vec{J}_f + \frac{\partial \vec{D}}{\partial t}$$

$$\hookrightarrow \vec{\nabla} \times \vec{H} = \frac{\partial \vec{D}}{\partial t} : \text{Lei de Ampère-Maxwell} \quad (241.1)$$

p/ meios materiais

aqui, de modo análogo à eletrostática e magnetostática, definimos os campos vetoriais auxiliares

$$\vec{D}(\vec{r}, t) = \epsilon_0 \vec{E}(\vec{r}, t) + \vec{P}(\vec{r}, t) \quad (241.2)$$

$$\vec{H}(\vec{r}, t) = \frac{1}{\mu_0} \vec{B}(\vec{r}, t) - \vec{M}(\vec{r}, t)$$

notar : Eq. (241.1) em termos \vec{E} e \vec{B} :

$$\vec{\nabla} \times \vec{B} = \mu_0 \left(\vec{J}_f + \vec{\nabla} \times \vec{M} + \frac{\partial \vec{P}}{\partial t} \right) + \mu_0 \epsilon_0 \frac{\partial \vec{E}}{\partial t}$$

comparando a eq. acima c/ Eq. (239.4), vemos que a densidade de corrente total $\vec{J}(\vec{r}, t)$ apresenta 3 termos :

$$\vec{J}(\vec{n}, t) = \vec{J}_f + \underbrace{\vec{\nabla} \times \vec{M}}_{\vec{J}_M} + \underbrace{\frac{\partial \vec{P}}{\partial t}}_{\vec{J}_P}$$
(242.1)

\sim elétrons livres
(transporte)

\rightarrow connente
magnetização $\sim \vec{\mu}$

Lembrar caso estático:

$$\sigma_s(\vec{n}) \equiv \sigma_p(\vec{n}) = \vec{P} \cdot \hat{n} : \text{densidade superficial cargas ligadas/polarizações}$$

$$\rho_s(\vec{n}) \equiv \rho_p(\vec{n}) = -\vec{\nabla} \cdot \vec{P} : \quad " \quad \text{volumétrica} \quad " \quad " \quad "$$

$$\vec{K}_M(\vec{n}) = \vec{M}(\vec{n}) \times \hat{n} : \text{densidade superficial connente magnetização}$$

$$\vec{J}_M(\vec{n}) = \vec{\nabla} \times \vec{M}(\vec{n}) : \quad " \quad " \quad "$$

Se $P_p = P_p(\vec{n}, t) \rightarrow$ eq. de continuidade:

$$\vec{\nabla} \cdot \vec{J}_P = - \frac{\partial \rho_p}{\partial t} = - \frac{\partial}{\partial t} (-\vec{\nabla} \cdot \vec{P}) = \vec{\nabla} \cdot \left(\frac{\partial \vec{P}}{\partial t} \right)$$

$$\rightarrow \vec{J}_P(\vec{n}, t) = \frac{\partial \vec{P}(\vec{n}, t)}{\partial t} : \text{densidade de connente de polarização} \quad (242.2)$$

Eqs. fundamentais EM, forma diferencial, p/ meios materiais:

$$\vec{\nabla} \cdot \vec{D} = \rho_f(\vec{r}, t) \quad (243.1)$$

$$\vec{\nabla} \cdot \vec{B} = 0 \quad (243.2)$$

$$\vec{\nabla} \times \vec{E} + \frac{\partial \vec{B}}{\partial t} = \vec{J}_f(\vec{r}, t) \quad (243.3)$$

$$\vec{\nabla} \times \vec{H} - \frac{\partial \vec{D}}{\partial t} = \vec{J}_f(\vec{r}, t) \quad (243.4)$$

onde $\vec{E} = \vec{E}(\vec{r}, t)$ $\vec{B} = \vec{B}(\vec{r}, t)$
 $\vec{D} = \vec{D}(\vec{r}, t)$ $\vec{H} = \vec{H}(\vec{r}, t)$

notar: além das condições de contorno (veja abaixo), é necessário considerar as relações constitutivas, i.e.,

$$\vec{D} = \vec{D}(\vec{E}, \vec{B}) \quad e \quad \vec{H} = \vec{H}(\vec{E}, \vec{B}) \quad (243.5)$$

p/ determinação de $\vec{E} = \vec{E}(\vec{r}, t)$ e $\vec{B} = \vec{B}(\vec{r}, t)$.

caso particular: meio linear descrito por permissividade ϵ e permeabilidade μ :

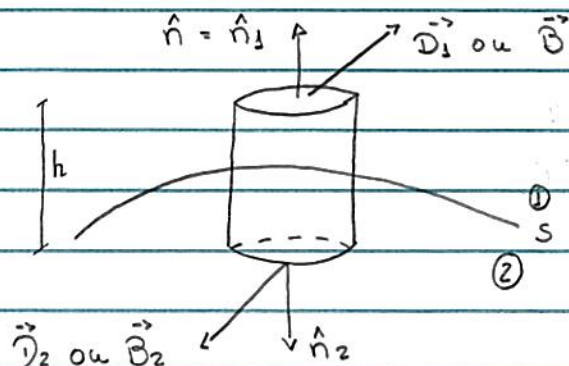
$$\vec{D} = \epsilon \vec{E} \quad e \quad \vec{B} = \mu \vec{H} : \text{relações constitutivas.}$$

Obs. Eqs. (243.1) - (243.4): em alguns casos denominados eqs. macroscópicas de Maxwell (veja abaixo)

• Condições de contorno.

De modo análogo ao caso estático, vamos derivar as condições de contorno p/ \vec{E} , \vec{B} , \vec{D} e \vec{J} dependentes do tempo, considerando as formas integrais das Eqs. (243.1) - (243.4)

- (i) consideram: superfícies arbitrárias S ⊕ $\sigma_f(\vec{n}, t)$ ⊕ $\vec{K}_f(\vec{n}, t)$
 ⊕ cilindro infinitesimal



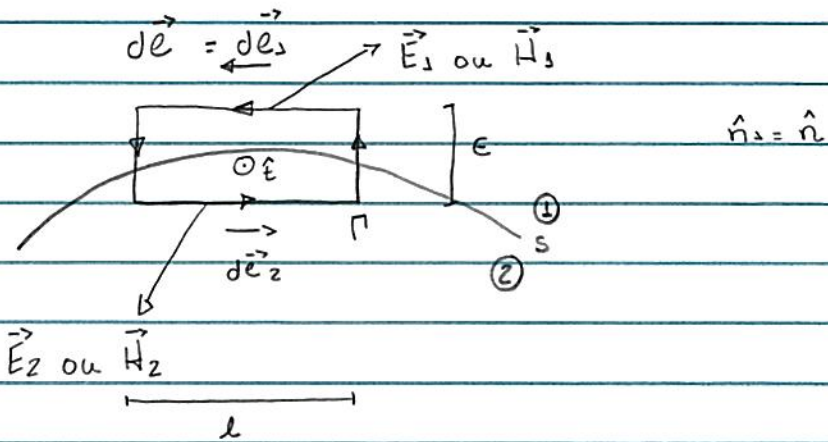
$$\text{Eq. (243.1)} : \oint_{\text{CILINDRO}} \vec{D} \cdot d\vec{s} \xrightarrow{h \rightarrow 0} (\hat{n}_1 \cdot \vec{D}_1 + \hat{n}_2 \cdot \vec{D}_2) A = Q_f = \sigma_f A$$

$$\Leftrightarrow D_1^{\perp} - D_2^{\perp} = \sigma_f \quad \text{ou} \quad \hat{n} \cdot (\vec{D}_1 - \vec{D}_2) = \sigma_f$$

$$\text{Eq. (243.2)} : \oint_{\text{CILINDRO}} \vec{B} \cdot d\vec{s} \xrightarrow{h \rightarrow 0} (\hat{n}_1 \cdot \vec{B}_1 + \hat{n}_2 \cdot \vec{B}_2) A = 0$$

$$\Leftrightarrow B_1^{\perp} = B_2^{\perp} \quad \text{ou} \quad \hat{n} \cdot (\vec{B}_1 - \vec{B}_2) = 0$$

- (ii) consideram: superfície arbitrária S ⊕ $\sigma_f(\vec{n}, t)$ ⊕ $\vec{K}_f(\vec{n}, t)$
 ⊕ curva fechada Γ



$$\text{Eq. (243.3)} : \oint_{\Gamma} \vec{E} \cdot d\vec{e} = - \frac{d}{dt} \int_S \vec{B} \cdot d\vec{s} - \frac{d}{dt} \int_S \vec{B} \cdot (ds \hat{n})$$

$\hookrightarrow \text{sup. fronteira} = \Gamma$

notam: Área sup. S $\xrightarrow[\epsilon \rightarrow 0]{} 0$

$$\underset{\epsilon \rightarrow 0}{\cancel{\int_{\Gamma} (\vec{E}_1 \cdot d\vec{e}_1 + \vec{E}_2 \cdot d\vec{e}_2) \cdot l = 0}} \rightarrow E_1'' = E_2''$$

$$\text{ou } \hat{n} \times (\vec{E}_1 - \vec{E}_2) = 0$$

De modo análogo, temos que:

$$\text{Eq. (243.4)} : \oint_{\Gamma} \vec{H} \cdot d\vec{e} \xrightarrow[\epsilon \rightarrow 0]{} (\vec{H}_1 \cdot d\vec{e}_1 + \vec{H}_2 \cdot d\vec{e}_2) \cdot l = I_f = d\vec{e}_1 \cdot (\vec{k}_f \times \hat{n}) l$$

$$\hookrightarrow \hat{n} \times (\vec{H}_1 - \vec{H}_2) = \vec{k}_f$$

Resumo condições de contorno:

$$\hat{n} \cdot (\vec{D}_1 - \vec{D}_2) = \sigma_f$$

$$\hat{n} \times (\vec{E}_1 - \vec{E}_2) = 0$$

(246.1)

$$\hat{n} \cdot (\vec{B}_1 - \vec{B}_2) = 0$$

$$\hat{n} \times (\vec{H}_1 - \vec{H}_2) = \kappa_f$$

caso particular meio linear: $\vec{D}_i = \epsilon_i \vec{E}_i$
 $\vec{B}_i = \mu_i \vec{H}_i ; i=1,2$

$$\hat{n} \cdot (\epsilon_1 \vec{E}_1 - \epsilon_2 \vec{E}_2) = \sigma_f$$

$$\hat{n} \times (\vec{E}_1 - \vec{E}_2) = 0$$

(246.1)

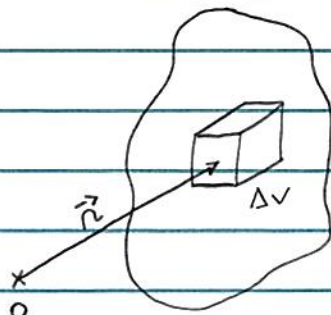
$$\hat{n} \cdot (\vec{B}_1 - \vec{B}_2) = 0$$

$$\hat{n} \times (\vec{B}_1/\mu_1 - \vec{B}_2/\mu_2) = \kappa_f$$

\rightarrow pg. 246.1

Campos microscópicos \times campos macroscópicos,

Lembrem definições polarizações:



$$\vec{P}(\vec{r}) = \lim_{\Delta V \rightarrow 0} \frac{1}{\Delta V} \sum_{i=1}^n \vec{p}_i \quad (246.3)$$

onde $\vec{p}_i \in \Delta V$

e volume $\Delta V \ll \sqrt{\text{AMOSTRA}}$ põem
 infinitesimal $\Delta V \gg \sqrt{\text{ÁTOMO/MOLÉCULA}}$

podemos escrever (246.3) como

valor médio \vec{p}

no volume ΔV !

$$\vec{P}(\vec{r}) = \frac{N}{\Delta V} \underbrace{\frac{1}{N} \sum_{i=1}^N \vec{p}_i}_{\langle \vec{p}(\vec{r}) \rangle} = n(\vec{r}) \langle \vec{p}(\vec{r}) \rangle$$

\hookrightarrow densidade átomos/moléculas

Ex.: consideran solenoide $\oplus I = I(t)$, pgs. 222-223.

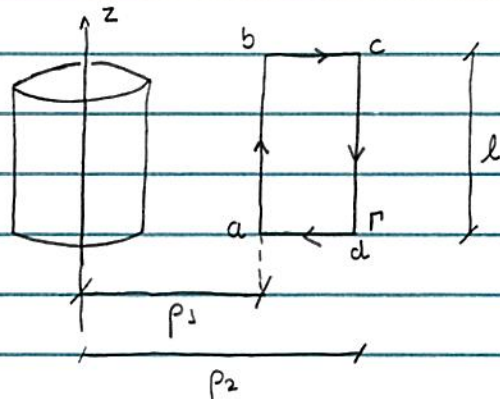
Vemos que

$$\vec{E}(\vec{r}, t) \approx \begin{cases} -\frac{1}{2} \mu_0 n i \hat{\rho} \hat{\phi}, & r < R \\ -\frac{1}{2} \mu_0 n i \frac{R^2}{r} \hat{\phi}, & r > R \end{cases}$$

: pl límite
quasi-estático

$$\vec{B}(\vec{r}, t) \approx \begin{cases} \mu_0 n i \hat{z}, & r < R \\ 0, & r > R \end{cases}$$

vamos determinar $\vec{B}_{out}(\vec{r}, t)$ em 1ª aproximação



por simetria $E_{out} \propto \hat{\rho} \rightarrow B_{out} \propto \hat{z} \rightarrow$ curva $\Gamma =$ retângulo.

$$\text{Eq. (237.2)} : \oint_{\Gamma} \vec{B} \cdot d\vec{e} = \underbrace{\mu_0 I}_{=0} + \mu_0 \epsilon_0 \int_S dt \vec{E} \cdot d\vec{s}$$

$$= \int_a^b B \hat{z} \cdot (dz \hat{z}) + \int_c^d (B \hat{z}) \cdot (dz \hat{z}) = \mu_0 \epsilon_0 \int \left(-\frac{1}{2} \mu_0 n i \frac{R^2}{r} \hat{\phi} \right) \cdot (dp dz \hat{\phi})$$

$$\therefore (B(p_1) - B(p_2)) l = -\frac{1}{2} \mu_0 n i R^2 \cdot l \cdot \underbrace{\mu_0 \epsilon_0}_{1/c^2} \int_{p_1}^{p_2} \frac{dp}{r}$$

$$\hookrightarrow \vec{B}(p_1) - \vec{B}(p_2) = -\frac{1}{2} \mu_0 n I \frac{R^2}{c^2} \ln\left(\frac{p_2}{p_1}\right) \hat{z}$$

Hipótese : $I(t) = I_0 \cos \omega t \rightarrow \ddot{I} = -\omega^2 I$

$$p_2 = \frac{c}{\omega} : \text{comprimento característico}$$

$$\hookrightarrow \vec{B}_{\text{out}}(p) = -\frac{1}{2} \mu_0 n I \frac{\omega^2 R^2}{c^2} \ln\left(\frac{p\omega}{p_c}\right) \hat{z}; \quad R < p < \omega/c$$

↳ quantidade
macroscópica \vec{P} ~ valor médio (média espacial)
quantidade microscópica \vec{p}

↳ considerações análogas p/ magnetizações

↳ indica que \vec{E}, \vec{D} ~ $\langle \vec{E}_{\text{micro}} \rangle$, etc.
 \vec{B}, \vec{H}
 $\vec{p} \text{ e } \vec{j}$ em (239.3) - (239.4)

Em detalhes,

Lembrem: Eqs. de Maxwell (239.1) - (239.4) obtidas a partir
de Q e J macro

↳ Q.: Eqs. (239.1) - (239.4) válidas p/ sistemas microscópicos?

A.: Experimento \rightarrow ok p/ $\lambda_{\text{MIN}} \sim \lambda_{\text{COMPTON}} \sim 10^{-12} \text{ m}$

nessa escala: núcleos e elétrons descritos como cargas pontuais.

↳ sistema constituído por núcleos e elétrons pode
ser descrito pelas eqs. microscópicas de Maxwell (239.1) - (239.4):

$$\vec{\nabla} \cdot \vec{e} = \frac{1}{\epsilon_0} Q$$

$$\vec{\nabla} \times \vec{e} + \partial_t \vec{b} = 0$$

(247.1)

$$\vec{\nabla} \cdot \vec{b} = 0$$

$$\vec{\nabla} \times \vec{b} - \mu_0 \epsilon_0 \partial_t \vec{e} = \mu_0 \vec{j}$$

onde

$\vec{e} = \vec{e}(\vec{r}, t)$: campo elétrico microscópico

$\vec{b} = \vec{b}(\vec{r}, t)$: " magnético "

$Q = Q(\vec{r}, t)$: densidade " carga (total)

$\vec{j} = \vec{j}(\vec{r}, t)$: " " corrente "

$$\text{ideia: } \vec{E}(\vec{r}, t) = \langle \vec{e}(\vec{r}, t) \rangle$$

$$\vec{B}(\vec{r}, t) = \langle \vec{b}(\vec{r}, t) \rangle$$

Campos

macroscópicos

média espacial campos microscópicos

Obs.: não é necessário considerar média temporal

Verifica-se que (p/ detalhes veja Sec. 6.6, Jackson)

$$\langle \vec{\nabla} \cdot \vec{b} \rangle = 0 \rightarrow \vec{\nabla} \cdot \vec{B} = 0$$

$$\langle \vec{\nabla} \times \vec{e} + \partial_t \vec{b} \rangle = 0 \rightarrow \vec{\nabla} \times \vec{E} + \partial_t \vec{B} = 0$$

$$\langle \vec{\nabla} \cdot \vec{e} \rangle = \frac{1}{\epsilon_0} \langle \rho \rangle \rightarrow \vec{\nabla} \cdot \vec{E} = \frac{1}{\epsilon_0} \langle \rho \rangle \quad (248.1)$$

$$\langle \vec{\nabla} \times \vec{b} - \mu_0 \epsilon_0 \partial_t \vec{e} \rangle = \langle \vec{j} \rangle \mu_0 \rightarrow \vec{\nabla} \times \vec{B} - \mu_0 \epsilon_0 \partial_t \vec{E} = \mu_0 \langle \vec{j} \rangle$$

além disso, temos que

$$\langle \rho(\vec{r}, t) \rangle = \rho_f(\vec{r}, t) - \vec{\nabla} \cdot \vec{P}(\vec{r}, t) + \dots \quad (248.2)$$

e a expressão correspondente p/ $\langle \vec{j}(\vec{r}, t) \rangle$ notas: Eqs. (248.1) \oplus (248.2) \rightarrow (243.1) !

L> Eqs. (243.3) - (243.4) : Eqs. macroscópicas de Maxwell

Obs. sobre média espacial: considera-se que a descrição macroscópica OK p/ $\lambda > l_0 \sim 10^{-8} \text{ m} = \lambda$ radiação UV, pois eqs. Maxwell podem ser utilizadas p/ descrever fenômenos ópticos: reflexão e refração!

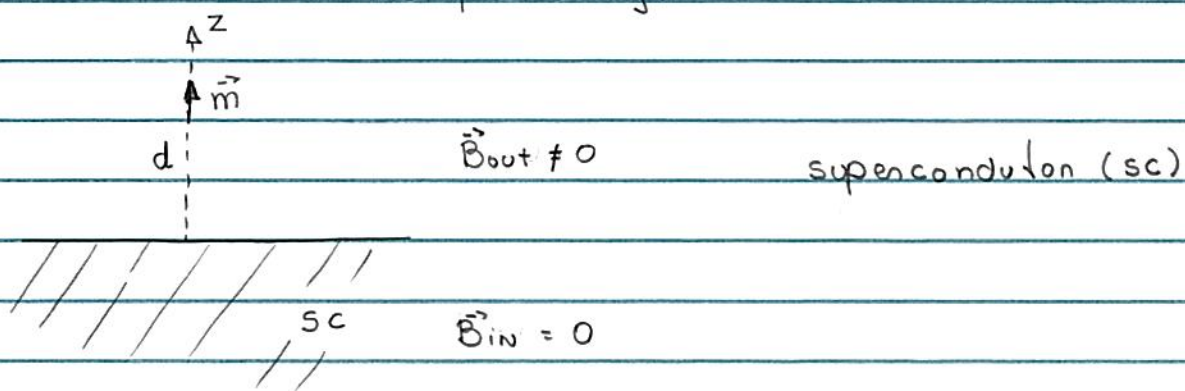
Ex. P-7.43, G.: indica e ilustra observações: magneto permanente flutua sob a superfície material supercondutor.

consideram: momento de dipolo $\vec{m} = m\hat{z}$ em $\vec{n}_0 = d\hat{z}$

④ supercondutor em $z \leq 0$:

determinam: (a) força SC sob \vec{m}

(b) densidade superficial de corrente \vec{i} induzida no plano xy .



O sistema pode ser analisado via método de imagens.

Lembre: SC dia magneto perfeito $\rightarrow \vec{B}(x, y, z < 0) = 0$

$$\text{condição de contorno: } \hat{z} \cdot (\vec{B}_{out} - \vec{B}_{in}) \Big|_{z=0} = 0$$

$$\Rightarrow B_{out,z}(x, y, 0) = B_{out,z}(p, 0) = 0$$

Campo magnético dipolo em \vec{n}_0 ; Eq. (182.2):

$$\vec{B}(\vec{r}) = \frac{\mu_0}{4\pi} \frac{1}{|\vec{r} - \vec{n}_0|^3} \left(3\hat{n}(\vec{m} \cdot \hat{n}) - \vec{m} \right)$$

$$\text{onde } \hat{n} = \frac{(\vec{n} - \vec{n}_0)}{|\vec{n} - \vec{n}_0|}$$

$$\text{notam: } \hat{n} = \frac{x\hat{x} + y\hat{y} + (z-d)\hat{z}}{(x^2 + y^2 + (z-d)^2)^{1/2}} = \frac{p\hat{p} + (z-d)\hat{z}}{(p^2 + (z-d)^2)^{1/2}} \text{ p/ } \vec{n}_0 = d\hat{z}$$

$$\vec{m} \cdot \hat{n} = (m\hat{z}) \cdot \hat{n} = \frac{m(z-d)}{(p^2 + (z-d)^2)^{1/2}}$$

pela simetria do sistema, o dipolo imagem \vec{m}' está localizado em $\vec{n}'_0 = -\hat{z}d$, de modo que o campo magnético é dado por

$$\begin{aligned} \vec{B}(p, z) &= \frac{\mu_0}{4\pi} \left(\frac{3m(z-d)(p\hat{p} + (z-d)\hat{z})}{(x^2 + y^2 + (z-d)^2)^{5/2}} - \frac{m\hat{z}}{(x^2 + y^2 + (z-d)^2)^{3/2}} \right) + \\ &+ \frac{\mu_0}{4\pi} \left(\frac{3m'(z+d)(p\hat{p} + (z+d)\hat{z})}{(x^2 + y^2 + (z+d)^2)^{5/2}} - \frac{m'\hat{z}}{(x^2 + y^2 + (z+d)^2)^{3/2}} \right) \\ &\equiv \vec{B}_m(p, z) + \vec{B}_{m'}(p, z), \quad z \geq 0 \end{aligned}$$

$$\text{notam: } B_z(p, 0) = 0 \rightarrow m' = -m \text{ ou } \vec{m}' = -m\hat{z}$$

\hookrightarrow força sc sob dipolo, Eq. (188.2) :

$$\begin{aligned} \vec{F}(\vec{n}) &= \vec{\nabla} (\vec{m} \cdot \vec{B}_{m'}(p, z)) = \vec{\nabla} (m B_{m', z}(p, z)) \\ &= +\vec{\nabla} \left(-\frac{\mu_0 m^2}{4\pi} \left(\frac{3(z+d)^2}{(p^2 + (z+d)^2)^{5/2}} - \frac{1}{(p^2 + (z+d)^2)^{3/2}} \right) \right) \\ &= -\frac{\mu_0 m^2}{4\pi} \cdot \frac{1}{(p^2 + (z+d)^2)^{7/2}} \left(3p(p^2 - 4(z+d)^2)\hat{p} + \right. \\ &\quad \left. + 3(z+d)(3p^2 - 2(z+d)^2)\hat{z} \right) \end{aligned}$$

$$\hookrightarrow \vec{F}(0, z) = + \frac{\mu_0 m^2}{4\pi} \frac{6}{(2d)^4} \hat{z}$$

se M : massa magneto

$$\hookrightarrow \text{posição equilíbrio: } \frac{\mu_0 m^2}{4\pi} \frac{6}{(2d)^4} = Mg.$$

sobre a componente induzida na superfície sc,

Lembremos condição de contorno (177.5) :

$$\hat{z} \times (\vec{B}_{out} - \vec{B}_{in}) \Big|_{z=0} = \mu_0 \vec{k} = \hat{z} \times \vec{B}_{out} \Big|_{z=0} = B_p(p, 0) (\hat{z} \times \hat{p})$$

$$\hookrightarrow \vec{k}(p) = \frac{1}{\mu_0} B_p(p, 0) \hat{p} = - \frac{3mpd}{2\pi(p^2 + d^2)^{5/2}} \hat{p}$$

Ex. P-7.47 G.: vimos que

$$\text{Eq. (152.4)} : \vec{B}(\vec{r}) = \frac{\mu_0}{4\pi} \int d^3 r' \frac{\vec{j}(r') \times (\vec{r} - \vec{r}')}{|\vec{r} - \vec{r}'|^3}$$

$$\hookrightarrow \vec{\nabla} \cdot \vec{B} = 0 \quad e \quad \vec{\nabla} \times \vec{B} = \mu_0 \vec{j} \quad (253.1)$$

e

$$\text{Eq. (169.1)} : \vec{A}(\vec{r}) = \frac{\mu_0}{4\pi} \int d^3 r' \frac{\vec{j}(r')}{|\vec{r} - \vec{r}'|} \quad p/ \quad \vec{\nabla} \cdot \vec{A} = 0 :$$

(a) hipótese $\rho(\vec{r}, t) = 0$

$$\hookrightarrow \vec{\nabla} \cdot \vec{E} = 0 \quad e \quad \vec{\nabla} \times \vec{E} = - \frac{\partial \vec{B}}{\partial t}$$

dada a analogia c/ (251.1), temos que

$$\vec{E}(\vec{r}, t) = - \frac{1}{4\pi} \int d^3 n' \frac{\partial_t \vec{B}(\vec{n}', t) \times (\vec{r} - \vec{n}')}{|\vec{r} - \vec{n}'|^3} \quad (252.1)$$

$$= - \frac{1}{4\pi} \frac{\partial}{\partial t} \int d^3 n' \frac{\vec{B}(\vec{n}', t) \times (\vec{r} - \vec{n}')}{|\vec{r} - \vec{n}'|^3}$$

(b) consideram gauge de Coulomb

$$\hookrightarrow \vec{\nabla} \cdot \vec{A} = 0 \quad e \quad \vec{\nabla} \times \vec{A} = \vec{B}$$

$$\hookrightarrow \vec{A}(\vec{r}, t) = \frac{1}{4\pi} \int d^3 n' \frac{\vec{B}(\vec{n}', t) \times (\vec{r} - \vec{n}')}{|\vec{r} - \vec{n}'|^3} \quad (252.2)$$

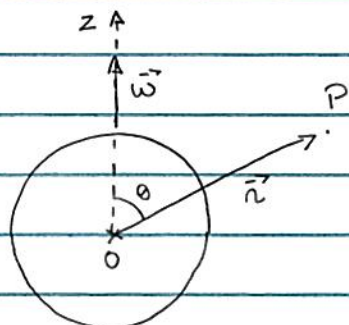
notam: p/ caso particular $\rho = 0$ temos que

$$\vec{E}(\vec{r}, t) = - \partial_t \vec{A}(\vec{r}, t)$$

$$\hookrightarrow \vec{\nabla} \times \vec{E} = \vec{\nabla} \times (- \partial_t \vec{A}) = - \partial_t \vec{\nabla} \times \vec{A} = - \partial_t \vec{B}$$

(c) consideram uma casca esférica radio R + densidade superficial de carga $\sigma = \text{cte}$ + notacão $\vec{\omega} = \vec{\omega}(t)$;
determinam $\vec{E} = \vec{E}(\vec{r}, t)$.

Hipótese: $\vec{\omega} = \omega(t) \hat{z}$



$$\hookrightarrow \vec{\kappa}(\vec{n}) = \vec{\kappa}(n, \theta) = \sigma \vec{v} = \sigma (\vec{\omega} \times \vec{n}) = \sigma \omega n \sin \theta \hat{\phi}$$

$$\text{de fato: } \vec{\kappa}(\theta) = \sigma \omega R \sin \theta \hat{\phi}$$

Como as condições dos itens (a) e (b) são válidas

\hookrightarrow determinar $\vec{A}(\vec{n}, t)$.

Hipótese: "variação lenta" $\omega(t) = \text{aproximação quasi estática}$

$$\hookrightarrow \vec{A}(\vec{n}, t) = \mu_0 \int_{4\pi} \vec{\kappa}(\vec{n}; t) ds$$

$$= \mu_0 \int_{4\pi} \sigma \omega(t) R \sin \theta' (R^2 \sin \theta' d\theta' d\phi') \hat{\phi}'$$

NOTAR!

Como

$$|\vec{n} - \vec{n}'|^3 = \begin{cases} \frac{1}{n} \sum_{l>0} \left(\frac{R}{n}\right)^l P_l(\cos \gamma), & n > R \\ \frac{1}{R} \sum_{l>0} \left(\frac{n}{R}\right)^l P_l(\cos \gamma), & n < R \end{cases}$$

veja pg. 198.2

\rightarrow ângulo entre \vec{n} e \vec{n}' !

$$\text{e } \hat{\phi}' = -\sin \phi' \hat{x} + \cos \phi' \hat{y}$$

(ii) $n > R$

$$\vec{A}(\vec{r}, t) = \frac{\mu_0 \sigma \omega R^3}{4\pi} \sum_{l \geq 0} \left(\frac{R}{n} \right)^l \int P_l(\cos \theta) \sin^2 \theta' * \\ * (-\sin \varphi' \hat{x} + \cos \varphi' \hat{y}) d\theta' d\varphi'$$

como (teorema de adição harmônicos esféricos)

$$P_l(\cos r) = P_l(\cos \theta) P_l(\cos \theta') + \\ + 2 \sum_{m=1}^l \frac{(l-m)!}{(l+m)!} P_l^m(\cos \theta) P_l^m(\cos \theta') \cos(m(\varphi - \varphi'))$$

notam

$$\int_0^{2\pi} d\varphi' \cos(m(\varphi - \varphi')) \sin \varphi' = \pi \delta_{m,1} \sin \varphi$$

$$\int_0^{2\pi} d\varphi' \cos(m(\varphi - \varphi')) \cos \varphi' = \pi \delta_{m,1} \cos \varphi$$

$$\hookrightarrow \vec{A}(\vec{r}, t) = \frac{\mu_0 \sigma \omega R^3}{4} \sum_{l \geq 0} \left(\frac{R}{n} \right)^l \frac{(l-1)!}{(l+1)!} P_l^1(\cos \theta) * \\ * 2 * \int_0^{\pi} d\theta' \sin \theta' \underbrace{\sin \theta'}_{P_l^1(\cos \theta')} \underbrace{P_{l+1}^1(\cos \theta')}_{\hat{\varphi}} + (-\sin \varphi \hat{x} + \cos \varphi \hat{y})$$

$$\frac{2}{2l+1} \frac{(l+1)!}{(l-1)!} \delta_{l,1}$$

$$\hookrightarrow \vec{A}(\vec{n}, t) = \frac{\mu_0 \sigma \omega R^4}{3n^2} P_1(\cos \theta) \hat{f} = \frac{\mu_0 \sigma \omega R^4}{3} \frac{\sin \theta}{n^2} \hat{f}, \quad n > R$$

(iii) $n < R$

de modo análogo, temos que:

$$\begin{aligned} \vec{A}(\vec{n}, t) &= \frac{\mu_0 \sigma \omega R^3}{4} \cdot \frac{1}{R} \sum_{l>0} \left(\frac{n}{R} \right)^l \frac{(l-1)!}{(l+1)!} P_l(\cos \theta) + \\ &\quad + 2 \cdot \underbrace{\int_0^{\pi} d\theta' \sin \theta' P_1(\cos \theta') P_2(\cos \theta') \hat{f}}_{2/3 \frac{(l+1)!}{(l-1)!}} \\ &= \frac{\mu_0 \sigma \omega R}{3} n \sin \theta \hat{f}, \quad n < R \end{aligned}$$

\hookrightarrow

$$\vec{E}(\vec{n}, t) = \begin{cases} -\partial_t \vec{A} & = -\frac{\mu_0 \sigma \omega R}{3} n \sin \theta \hat{f}, \quad n < R \\ -\partial_t \vec{A} + \frac{\alpha}{4\pi\epsilon_0 n^2} \hat{n} & = -\frac{\mu_0 \sigma \omega R^4}{3} \sin \theta \hat{f} + \frac{\alpha}{4\pi\epsilon_0 n^2} \hat{n}, \quad n > R \end{cases}$$

REF.: Classical electricity and magnetism
Panofsky and Phillips